Campo Magnético produzido por correntes elétricas



Prof. Fábio de Oliveira Borges

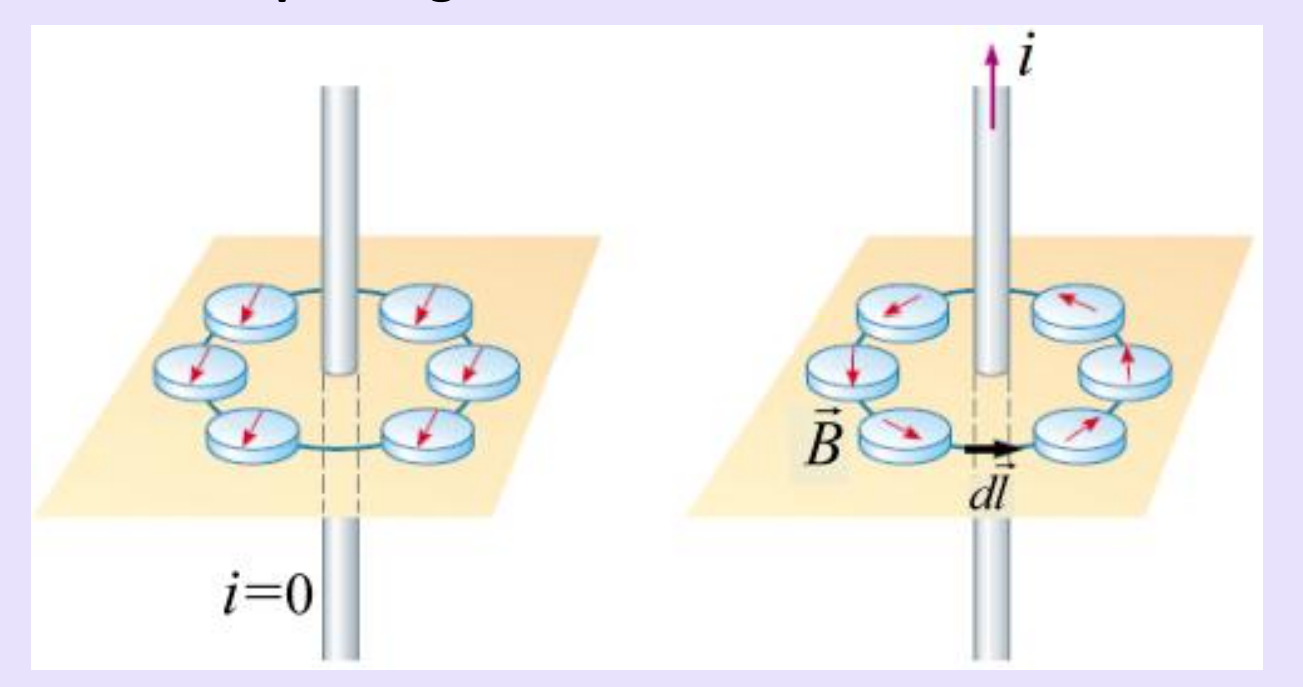
Curso de Física II Instituto de Física, Universidade Federal Fluminense Niterói, Rio de Janeiro, Brasil

https://cursos.if.uff.br/!fisica2-0217/doku.php



Experiência de Oersted

Foi no início do século XIX (1820), que o físico dinarmaquês Hans Christian Oersted (1777-1851) descobriu, através de um experimento realizado na sala de aula, que um fio retilíneo conduzindo uma corrente elétrica gera ao seu redor um campo magnético.



O experimento de Oersted possibilitou a unificação da eletricidade com o magnetismo, que passaram a constituir um novo ramo da física denominado eletromagnetismo.



Lei de Ampère

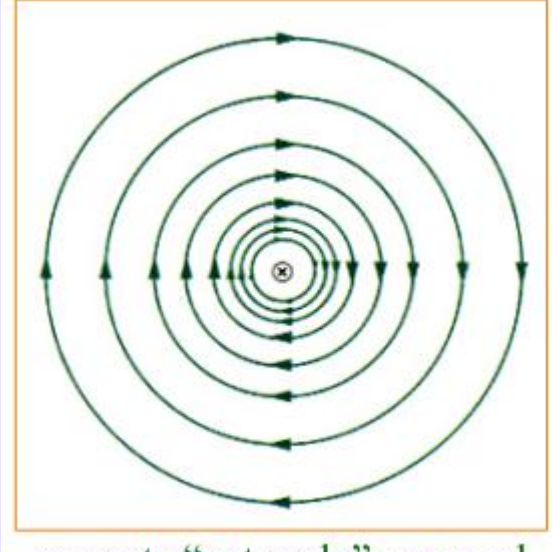
As linhas de força magnética são fechadas



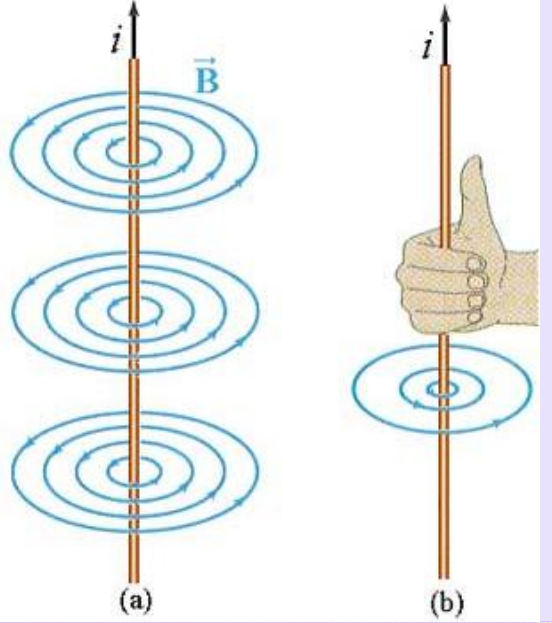


A circulação de $\vec{B} \neq 0$

matematicamente $\Rightarrow \oint_C \vec{B} \cdot d\vec{l} \neq 0$



corrente "entrando" no papel





Sentido do campo magnético $ec{B}$



dos resultados o valor da circulação é experimentais proporcional a corrente *i*

$$\Rightarrow \oint_C \vec{B}.d\vec{l} = Ki$$

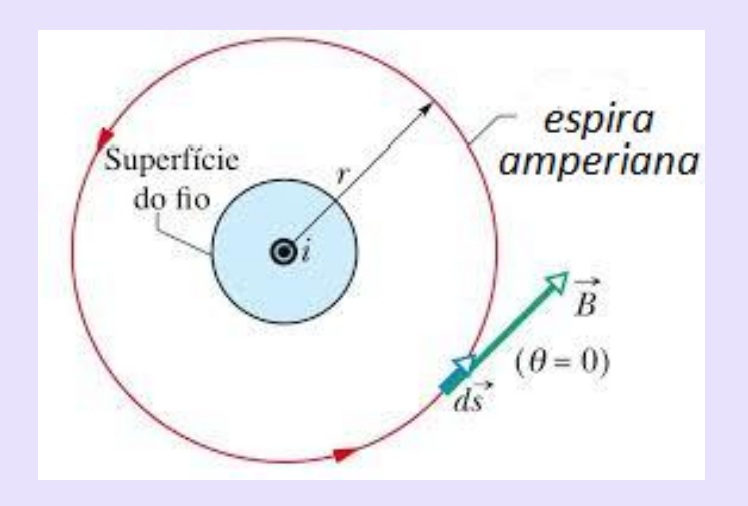


Lei de Ampère

No SI $\Rightarrow K = \mu_0$ (permeabilidade magnética do vácuo)

Unidade de
$$\mu_0 \Rightarrow \mu_0 \Rightarrow \frac{N}{A^2} \left(ou \, \frac{T.m}{A} \right)$$

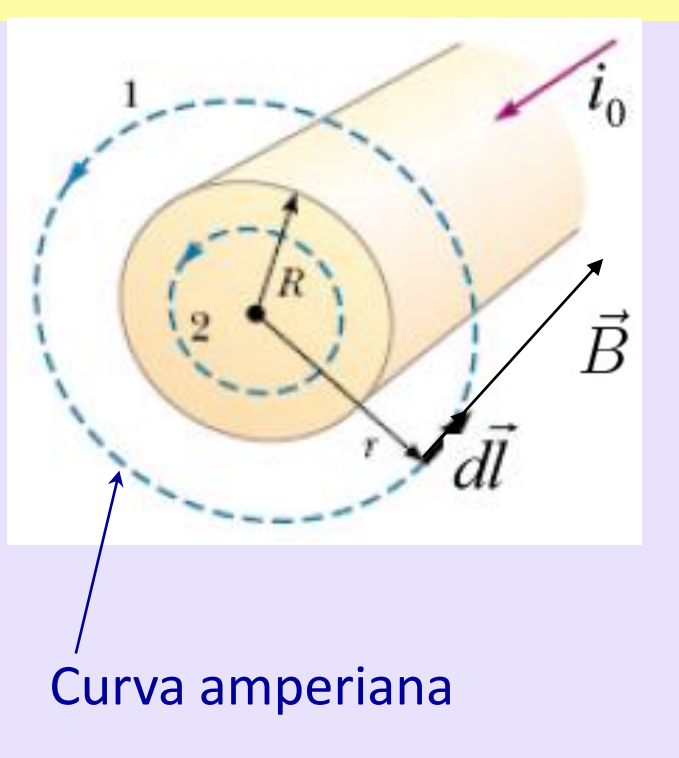
$$\Rightarrow \oint_C \vec{B}.d\vec{l} = \mu_0 i_{int}$$
 Lei de Ampère



 $i_{int} \rightarrow$ Corrente interna a espira (curva) amperiana



Campo magnético gerado em pontos externos de um fio longo



Região 1

$$\Rightarrow \oint_C \vec{B}.d\vec{l} = \mu_0 i_{int}$$

$$i_{int} = i_0 \ e \ \vec{B}//d\vec{l} \Rightarrow \oint_C Bdl = \mu_0 i_0$$

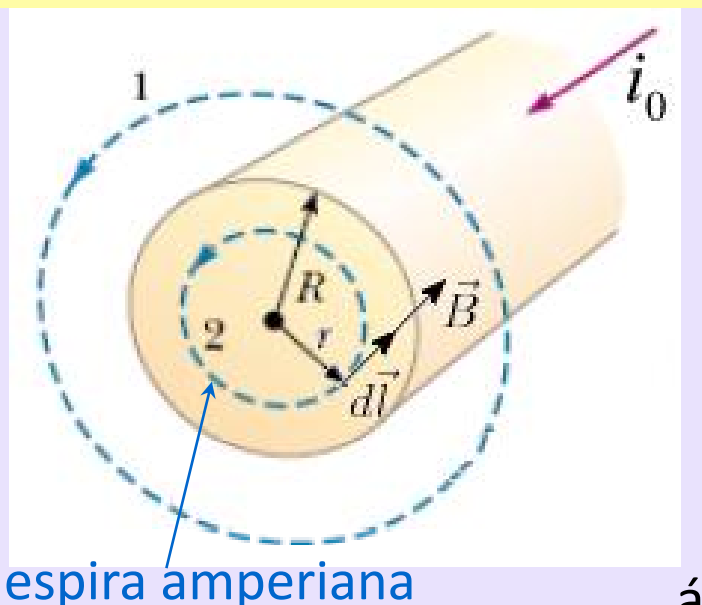
$$|\vec{B}| = C^{\underline{te}} sobre \Rightarrow B \oint_C dl = \mu_0 i_0$$

$$B(2\pi r) = \mu_0 i_0$$

$$B = \frac{\mu_0 i_0}{2\pi r}$$



Campo magnético gerado em pontos internos de um fio longo



Região 2

$$\Rightarrow \oint_C \vec{B}.d\vec{l} = \mu_0 i_{int} \qquad i_{int} = ?$$

$$i_{int} = ?$$

 $\Rightarrow i = i_0 \frac{r^2}{D^2}$

$$j = \frac{i}{A} \Rightarrow i = jA$$

área do fio
$$\Rightarrow \pi R^2 = A_{fio}$$

área da amperiana $\Rightarrow \pi r^2 = A_{amn}$

$$\Rightarrow j = \frac{i_0}{A_{fio}} = \frac{i}{A_{amp.}}$$

$$\Rightarrow i = i_0 \frac{A_{amp.}}{A_{fio}} = i_0 \frac{\pi r^2}{\pi R^2}$$

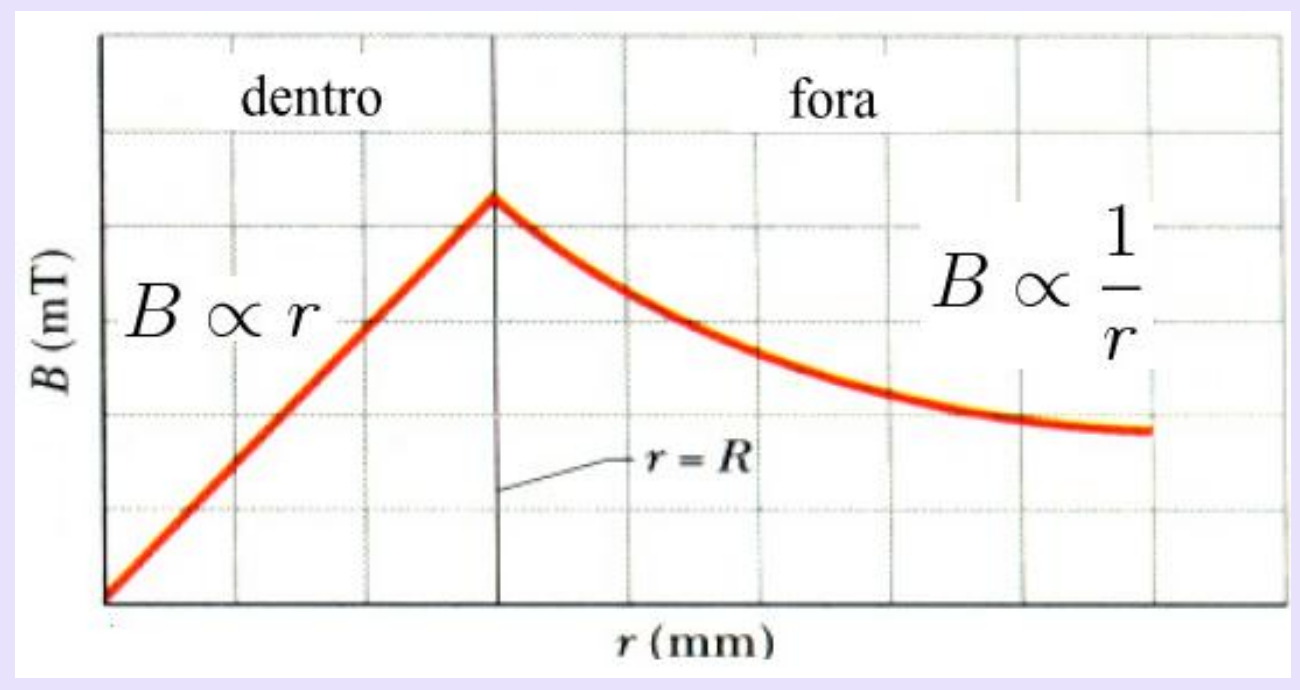
Campo magnético gerado em pontos internos de um fio longo

$$\oint_C \vec{B}.d\vec{l} = \mu_0 i_{int}$$



$$\oint_C \vec{B} \cdot d\vec{l} = \mu_0 i_{int} \qquad \Longrightarrow \qquad B(2\pi r) = \mu_0 \left(i_0 \frac{r^2}{R^2} \right)$$

$$B(r) = \frac{\mu_0 i_0 r}{2\pi R^2}$$



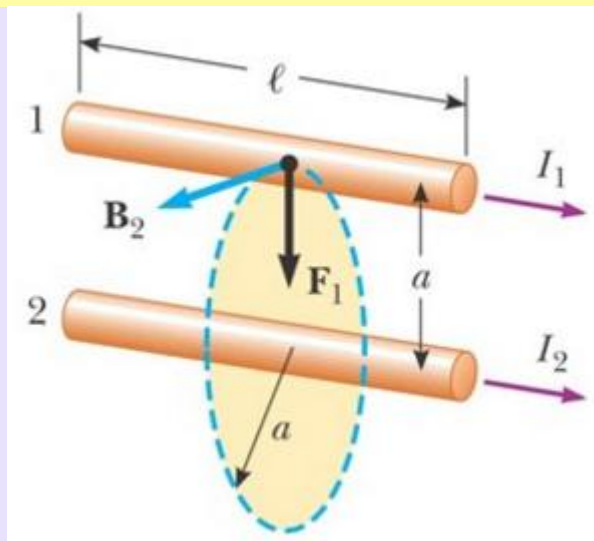


Interação entre dois condutores paralelos

Campo magnético gerado pelo fio 2 a distância a

$$\oint_C \vec{B_2} \cdot d\vec{l} = \mu_0 i_2 \qquad \Rightarrow |\vec{B_2}| = \frac{\mu_0 i_2}{2\pi a}$$

⇒ O fio 1 encontra-se imerso no campo magnético gerado pelo fio 2



Força magnética e exercida sobre o pedaço / do fio 1:

$$\vec{F_1} = i_1 \vec{l_1} \times \vec{B_2}, \ como \ \vec{l_1} \perp \vec{B_2} \Rightarrow |\vec{F_1}| = i_1 |\vec{l_1}| |\vec{B_2}|$$

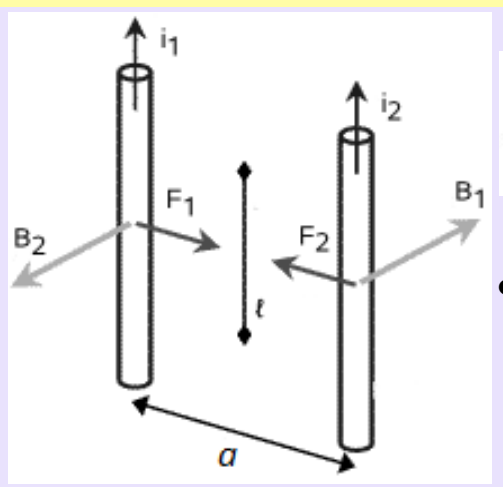
$$\Rightarrow |ec{F_1}| = rac{\mu_0 l_1 i_1 i_2}{2\pi a} \Rightarrow$$
 Força sobre o pedaço de fio I

$$\frac{|\vec{F_1}|}{l_1} = \frac{\mu_0 i_1 i_2}{2\pi a} \Rightarrow$$
 Força por unidade de comprimento do fio

• A força $\vec{F_1}$ está contida no plano formado pelos dois fios e aponta na direção do fio 2.

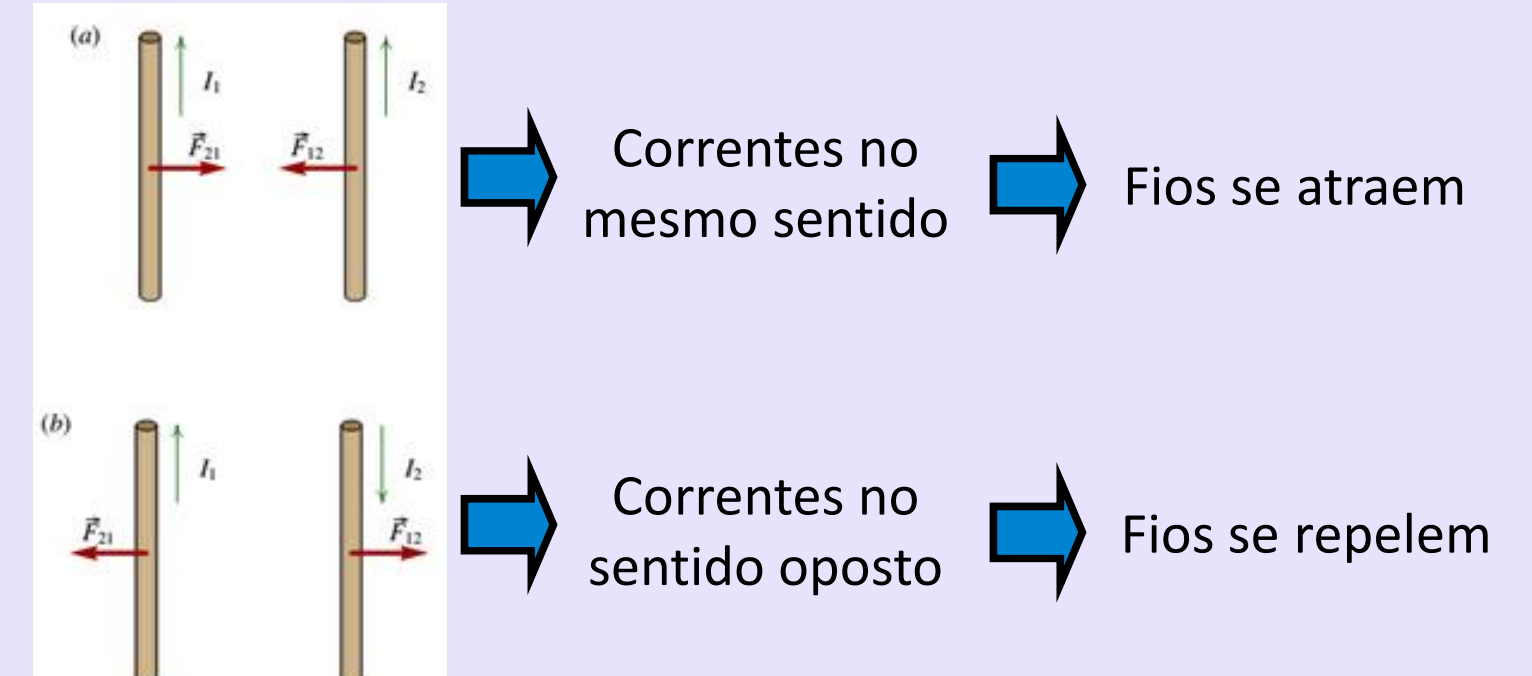


Interação entre dois condutores paralelos



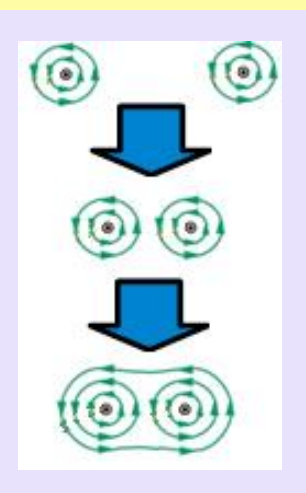
$$Analogamente: \ |\vec{B_1}| = \frac{\mu_0 i_1}{2\pi a} \Rightarrow |\vec{F_2}| = \frac{\mu_0 l_2 i_1 i_2}{2\pi a}$$
 • A força $\vec{F_2}$ está contida no plano formado pelos dois fios

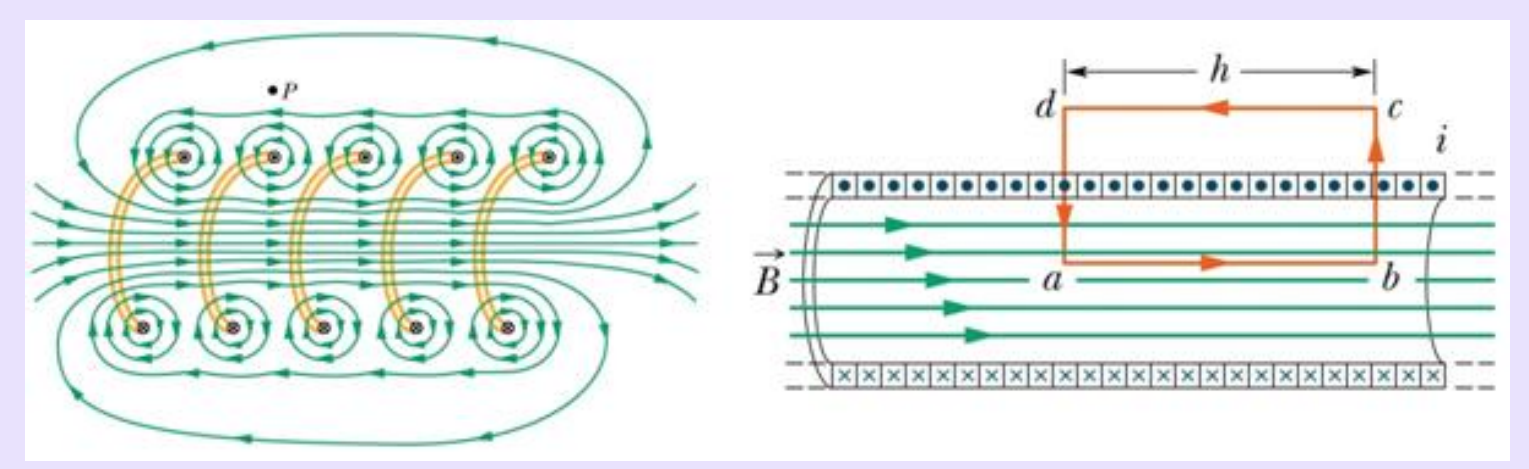
e aponta na direção do fio 1.





Campo magnético de um solenoide





Aplicando-se a lei de Ampère à curva amperiana abcd:

$$\oint_C \vec{B}.d\vec{l} = \mu_0 i_{int}$$

$$\oint_C \vec{B}.d\vec{l} = \underbrace{\int_a^b \vec{B}.d\vec{l}}_{\vec{B}//d\vec{l} \Rightarrow Bh} + \underbrace{\int_b^c \vec{B}.d\vec{l}}_{\vec{B} \perp d\vec{l} \Rightarrow 0} + \underbrace{\int_c^d \vec{B}.d\vec{l}}_{\vec{B} \approx 0 \Rightarrow 0} + \underbrace{\int_d^a \vec{B}.d\vec{l}}_{\vec{B} \perp d\vec{l} \Rightarrow 0} + \underbrace{\int_d^a \vec{B}.d\vec{l}}_{\text{area limitada pelo percurso de integração \'e:}}_{\text{integração \'e:}} i_{int} = i_0(nh)$$

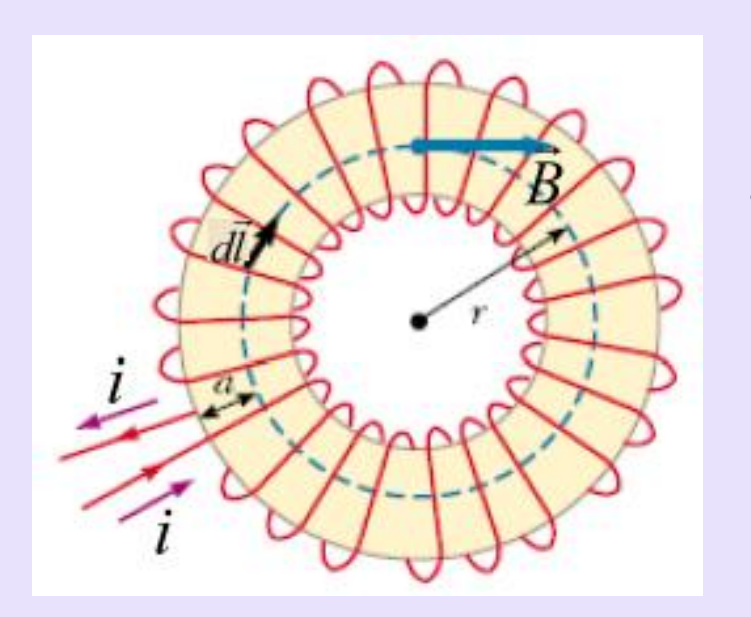
$$\Rightarrow Bh = \mu_0 i_0 nh$$

$$B = \mu_0 i_0 n \ (solenoide)$$



Campo magnético de um toroide

A figura mostra o enrolamento de um toroide de N voltas, transportando uma corrente i. O campo \vec{B} é <u>diferente de zero</u> apenas no <u>interior do toroide</u>. Sua intensidade <u>varia com r</u>.



Aplicando-se a lei de Ampère na curva amperiana tracejada em azul, tem-se:

$$\Rightarrow \oint_C \vec{B}.d\vec{l} = \mu_0 i_{int}$$

$$\oint_C \vec{B}.d\vec{l} = B(2\pi r) \ e \ i_{int} = Ni_0$$

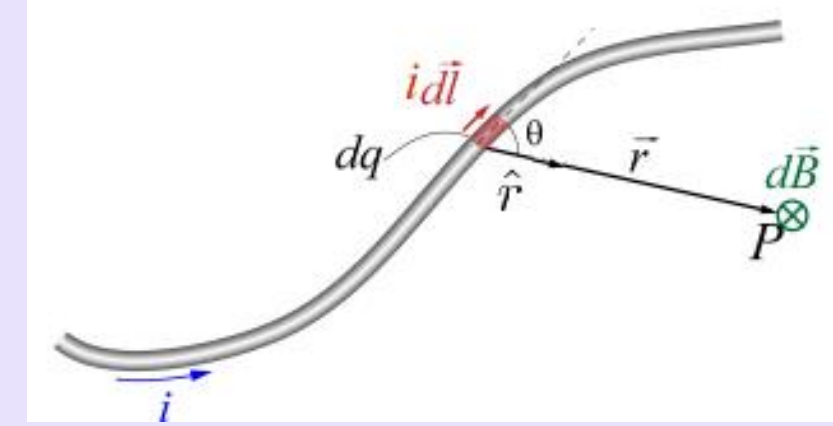
$$B = \frac{N\mu_0 i_0}{2\pi r} \ (toroide)$$

Note que como $\frac{N}{2\pi r}$ esta expressão é parecida à do campo magnético de um "solenoide enrolado".



Lei de Biot - Savart

Resultados experimentais com correntes elétricas atravessando fios e gerando campo magnético:



1) O vetor $d\vec{B}$ é perpendicular a $d\vec{l}$ (que está na direção da corrente) e o vetor unitário \hat{r} , dirigido do elemento do condutor até o ponto P.

$$\Rightarrow d\vec{B} \perp d\vec{l} e d\vec{B} \perp \hat{r}$$

2) O módulo de $d\vec{B}$ é inversamente proporcional a r^2 onde r é a distância entre o elemento condutor e o ponto P. $\Rightarrow |d\vec{B}| \propto \frac{1}{r^2}$

3) O modulo de
$$d\vec{B}$$
 é proporcional à corrente e ao comprimento dl do elemento condutor. $\Rightarrow |d\vec{B}| \propto id\vec{l}$



Lei de Biot - Savart

4) O módulo de $d\vec{B}$ é proporcional ao $sen\theta$, onde é o ângulo θ entre os vetores $d\vec{l}$ e \hat{r} .

$$\Rightarrow |d\vec{B}| \propto sen\theta$$

de 2,3 e 4
$$\Rightarrow |d\vec{B}| = K \frac{i|d\vec{l}|sen\theta}{r^2}$$

$$de 1 \Rightarrow d\vec{B} = K \frac{id\vec{l} \times \hat{r}}{r^2}$$

 $K \rightarrow$ Constante de proporcionalidade

no SI
$$\Rightarrow K = \frac{\mu_0}{4\pi}$$

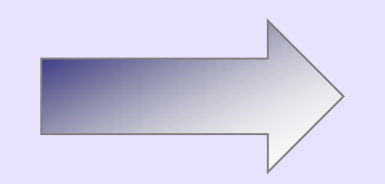
Lei de Biot-Savart

Logo:

$$d\vec{B} = \frac{\mu_0}{4\pi} \frac{id\vec{l} \times \hat{r}}{r^2}$$

$$\vec{B} = \frac{\mu_0 i}{4\pi} \int \frac{d\vec{l} \times \hat{r}}{r^2}$$

Fazendo
$$\hat{r} = \frac{\vec{r}}{|\vec{r}|}$$
 onde $\vec{r} = |\vec{r}|\hat{r}$



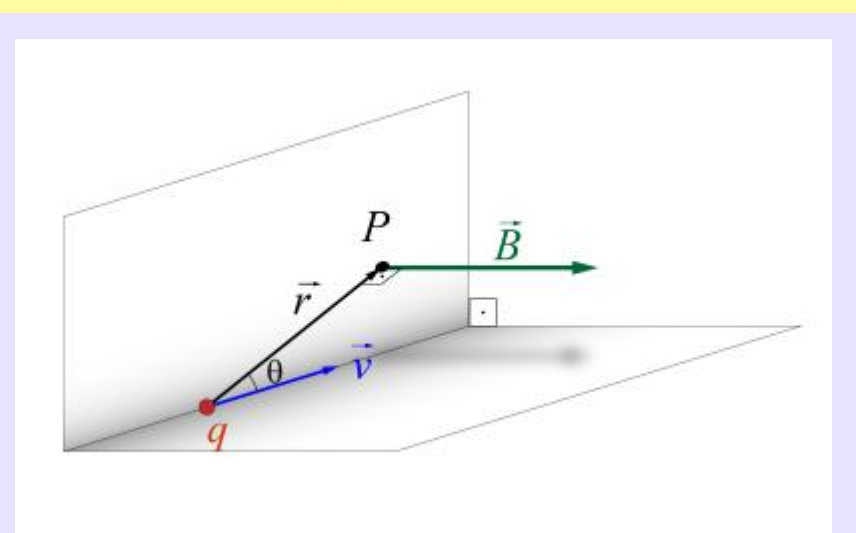
$$\vec{B} = \frac{\mu_0 i}{4\pi} \int \frac{d\vec{l} \times \vec{r}}{r^3}$$



Lei de Biot-Sarvat



Campo de uma carga em movimento



Campo magnético gerado por uma corrente i:

$$d\vec{B} = \frac{\mu_0}{4\pi} \frac{id\vec{l} \times \hat{r}}{r^2}$$

Sabendo que:

$$i = \frac{dq}{dt} \Rightarrow id\vec{l} = dq \frac{d\vec{l}}{dt} \stackrel{dq=q}{\to} q\vec{v}$$

Substituindo na equação para a corrente temos:

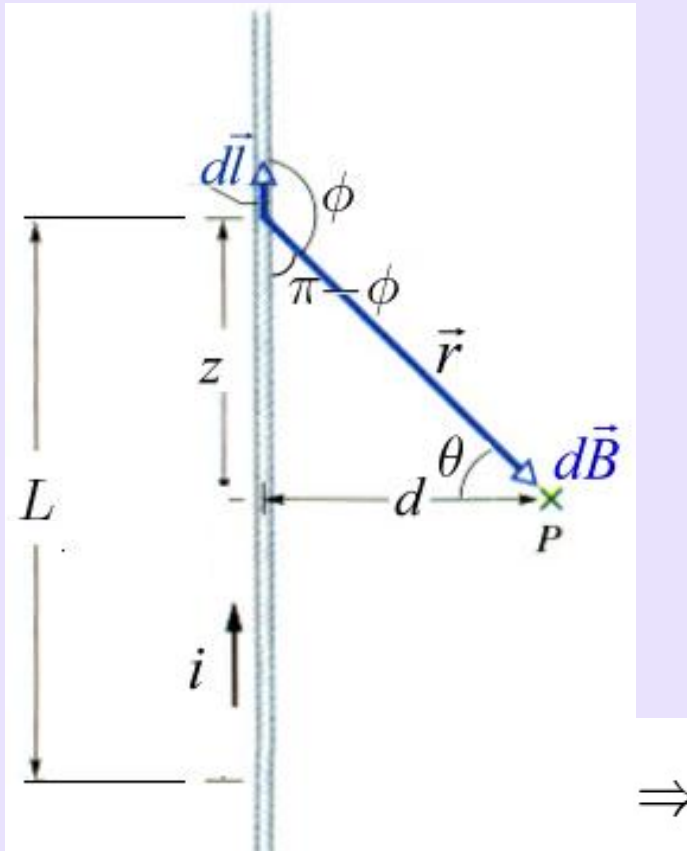
$$\Rightarrow \vec{B} = \frac{\mu_0}{4\pi} \frac{q\vec{v} \times \hat{r}}{r^2}$$



Campo gerado por uma única carga elétrica em movimento



Campo magnético de um pedaço de fio com corrente i



Lei de Biot-Savart

$$d\vec{B} = \frac{\mu_0}{4\pi} \frac{id\vec{l} \times \hat{r}}{r^2} \qquad dl \to dz$$

$$dB = \frac{\mu_0 i}{4\pi} \frac{dz sen\phi}{r^2}$$

$$r = \sqrt{z^2 + d^2}$$

$$(\pi - \phi) + \frac{\pi}{2} + \theta = \pi \Rightarrow \phi = \theta + \frac{\pi}{2}$$

$$\Rightarrow sen\phi = sen\left(\theta + \frac{\pi}{2}\right) = cos\theta = \frac{d}{\sqrt{z^2 + d^2}}$$

$$\Rightarrow dB = \frac{\mu_0 i}{4\pi} \frac{dz cos\theta}{r^2} = \frac{\mu_0 i}{4\pi} \frac{d}{(z^2 + d^2)^{3/2}} dz$$



Campo magnético de um pedaço de fio com corrente i

$$B = \frac{\mu_0 i}{4\pi} d \int_{-L/2}^{L/2} \frac{dz}{(z^2 + d^2)^{3/2}}$$

$$tabela \Rightarrow \int \frac{du}{(u^2 \pm a^2)^{3/2}} = \frac{\pm u}{a^2 (u^2 \pm a^2)^{1/2}}$$

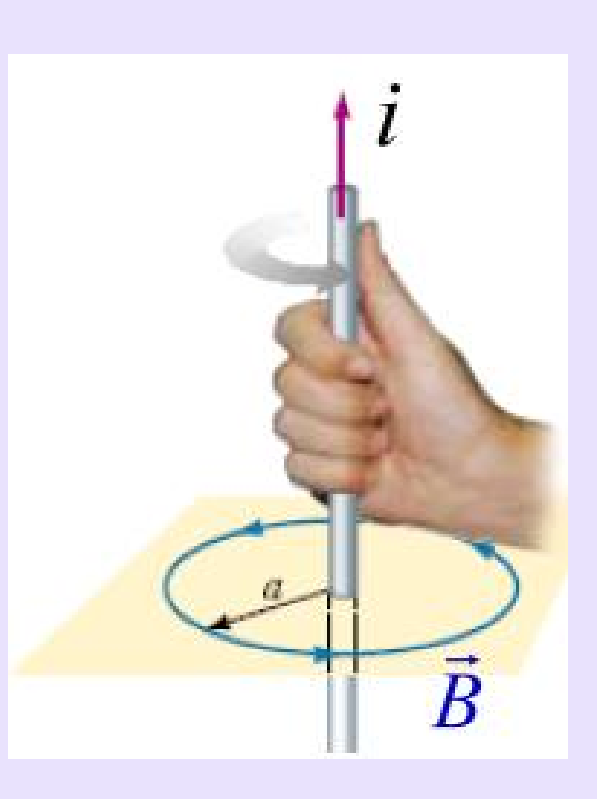
$$B = \frac{\mu_0 i}{4\pi d} \left[\frac{z}{(z^2 + d^2)^{1/2}} \right]_{z=-L/2}^{z=L/2}$$

$$B = \frac{\mu_0 i}{4\pi d} \left(\frac{L/2}{(L^2/4 + d^2)^{1/2}} - \frac{-L/2}{(L^2/4 + d^2)^{1/2}} \right)$$



Campo magnético de um pedaço de fio longo com corrente i

$$\Rightarrow \vec{B} = -\frac{\mu_0 i}{4\pi d} \frac{L}{(L^2/4 + d^2)^{1/2}} \hat{x}$$



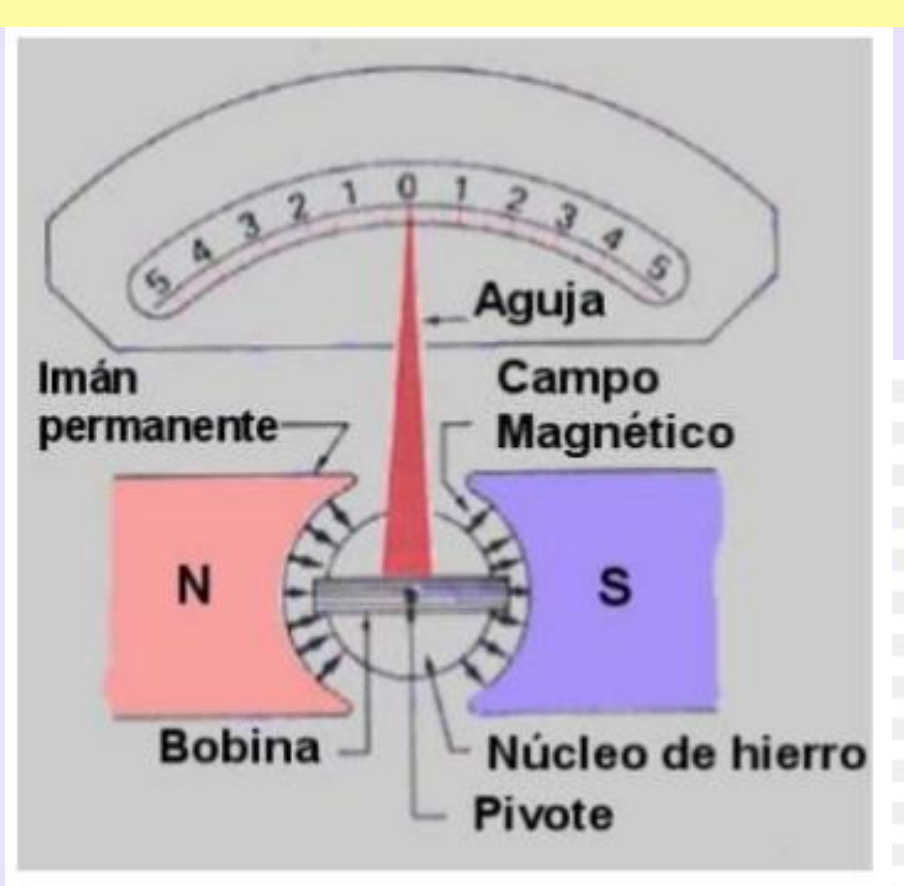
Fazendo $L \gg d \Rightarrow$ fio muito longo

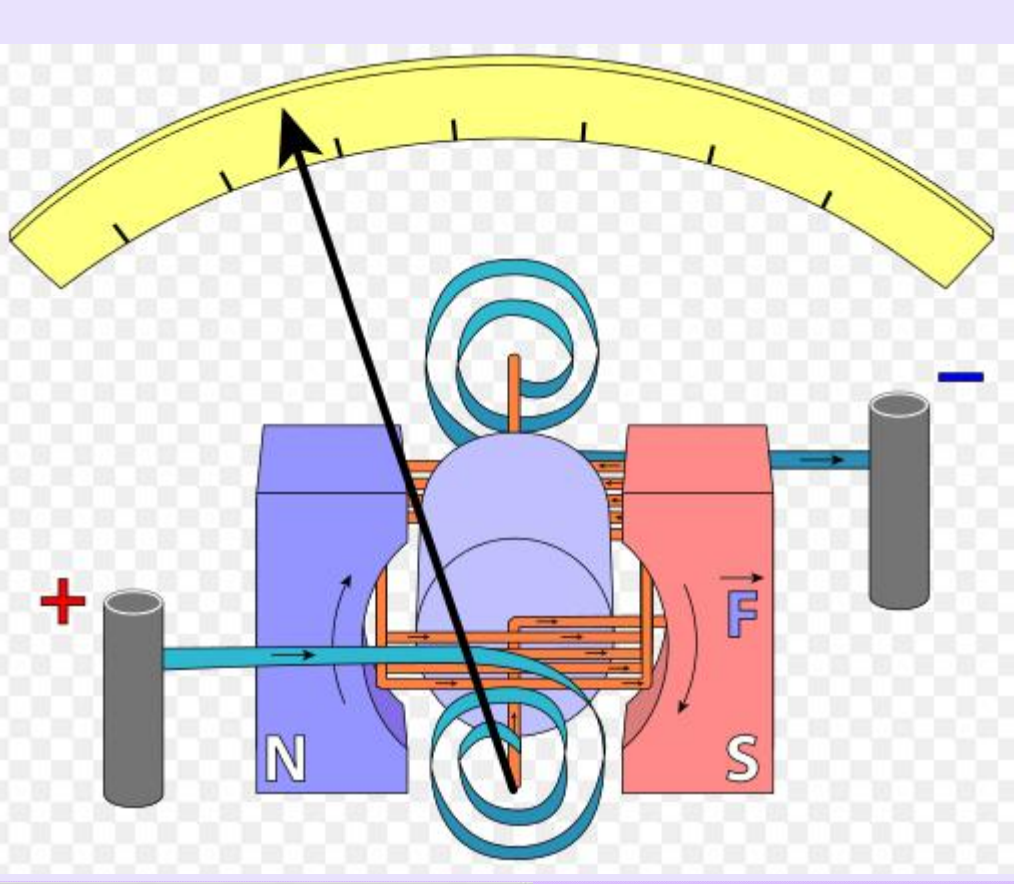
$$\Rightarrow \left(\frac{L^2}{4} + d^2\right)^{1/2} \approx \sqrt{\frac{L^2}{4}} = \frac{L}{2}$$

$$\Rightarrow \vec{B} = -\frac{\mu_0 i}{2\pi d} \hat{x}$$



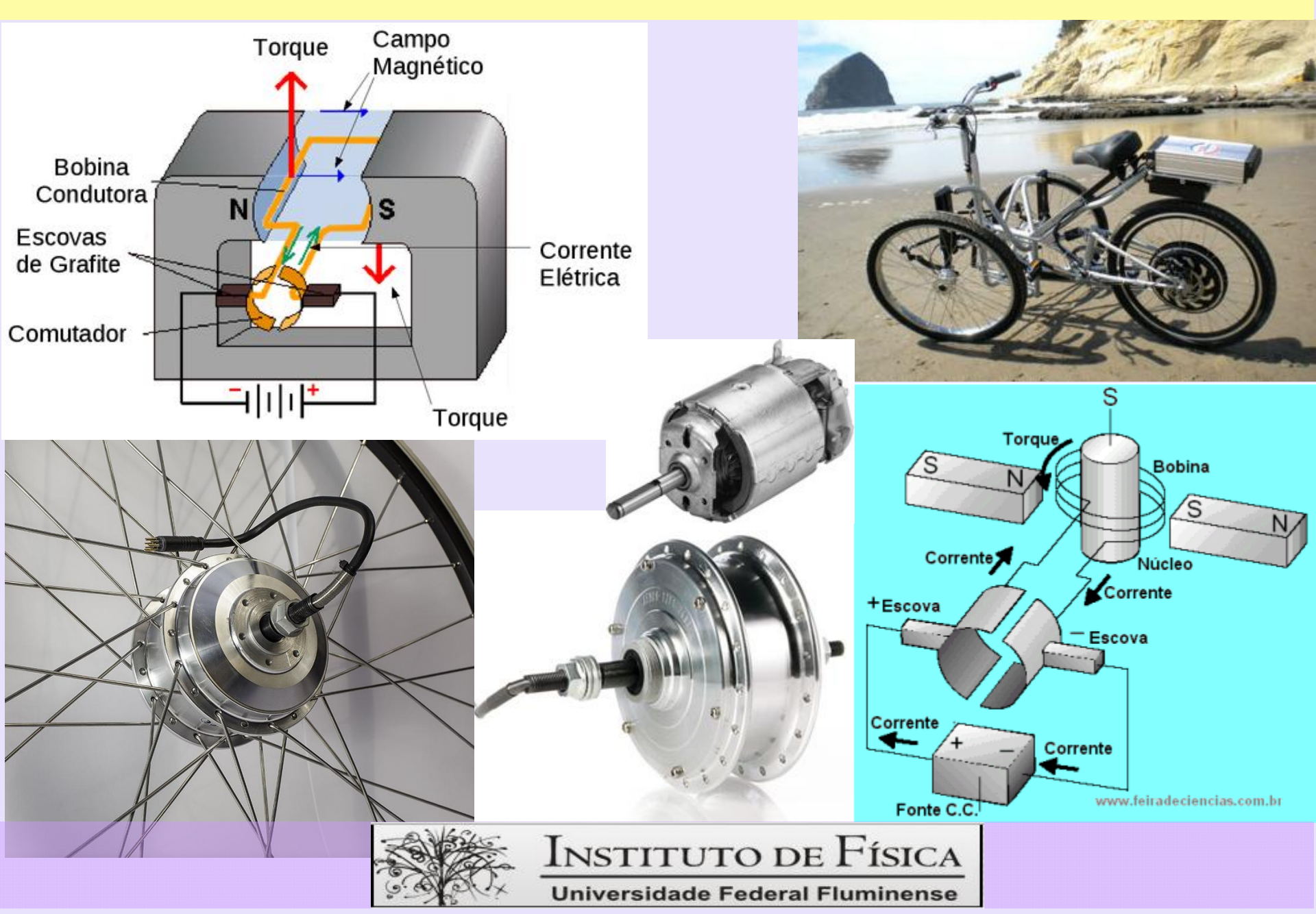
Galvanômetro







Motor elétrico de corrente contínua



FIM

